

**ИНВЕРСИЯ ДВОЙНОГО ЗАРЯЖЕННОГО СЛОЯ
ПРИ ПРЯМОМ СМЕЩЕНИИ
СЛАБОПРОЗРАЧНОГО ИЗОТИПНОГО ГЕТЕРОПЕРЕХОДА**

Грибников З. С., Райчев О. Э.

Низкая прозрачность, т. е. малость коэффициента прохождения электронов через вершину гетеробарьера, ограничивает проводимость изотипного гетероперехода при прямых смещениях.

Следствием этого ограничения являются накопление электронов в первоначально обедненной стороне гетероперехода и обеднение электронами первоначально обогащенной стороны, т. е. инверсия заряда в двойном заряженном слое гетероперехода.

Ограниченный прозрачностью ток при больших смещениях возрастает с ростом напряжения по омическому закону, причем соответствующее сопротивление определяется величиной прозрачности.

Примером гетероперехода с низкой прозрачностью является разнодолинный ГХ-переход.

1. Здесь рассматриваются резкие изотипные (для конкретности — nn) гетеропереходы (ГП, nn -ГП). Энергетическая диаграмма nn -ГП в состоянии термодинамического равновесия, а также при умеренно больших прямых смещениях изображена на рис. 1. Ток через такой ГП есть разность стечного тока из полупроводника 1 (п. 1) в полупроводник 2 (п. 2) и термоэлектронного тока в обратном направлении (туннельными токами пренебрегаем):

$$J = e(D_2 n_2 v_2 - D_1 n_1 v_1 e^{-\Delta/T}). \quad (1)$$

Здесь $T_{1,2}$ — электронные температуры, $n_{1,2}$ — объемные концентрации электронов непосредственно рядом с ГП, $v_{1,2}$ — их средние тепловые скорости ($v_{1,2} = \sqrt{3}T_{1,2}/m_{1,2}$, $m_{1,2}$ — эффективные массы подвижности); индексы 1 и 2 обозначают различные области ГП (рис. 1).

Величины $D_{1,2}$ — безразмерные «прозрачности» (усредненные по распределению коэффициенты прохождения) гетероперехода справа налево и слева направо соответственно. В этой работе существенно необходима малость прозрачности D_2 :

$$D_2 \ll 1. \quad (2)$$

Укажем случаи, обеспечивающие выполнение (2). В случае идеального изодолинного ГП при $T_{1,2} \ll \Delta_0$ и неучете квантового отражения прозрачность D_2 не зависит от T_2 и для ГГ-перехода есть просто число $D_{2_{\text{кк}}} = (6\pi)^{-1/2}$. Учет квантового отражения заметно уменьшает прозрачность, делая ее зависящей от T_2 . Для ГГ-перехода

$$D_2 = \left(\frac{2}{3} \frac{m_1}{m_2} \frac{T_2}{\Delta_0} \right)^{1/2} = 2 \left(\pi \frac{m_1}{m_2} \frac{T_2}{\Delta_0} \right)^{1/2} D_{2_{\text{кк}}}. \quad (3)$$

Поскольку в ГП на рис. 1, как правило, $m_1 < m_2$ и в силу предположения $T_2 \ll \Delta_0$, из (3) следует выполнение (2), обусловленное квантовым отражением. Таким образом, для наличия сильного неравенства (2) достаточно резкости ГП и низких температур.

Более сильное выполнение (2) обеспечивается в разнодолинных ГП, например в ГХ-переходах. Если п. 2 есть X-материал, а п. 1 — Г-материал (что

имеет место в ГП GaAs/AlAs, а также в GaAs/Ga_{1-x}Al_xAs, $x > 0.45$), то для ГП в плоскости (100)

$$D_2 = \sqrt{\frac{T_2}{\Delta_0}} \left(\frac{2}{3} \frac{\alpha^2}{\hbar^2 \Delta_X} \frac{M_{X_1}}{M_{X_2}} \right) \sqrt{m_{\Gamma_1} m_{X_2}} \left[1 + \frac{m_{\Gamma_1}}{m_{\Gamma_2}} \left(\frac{\Delta_\Gamma}{\Delta_0} - 1 \right) \right]^{-1} \left(1 + \frac{m_{X_2}}{2 M_{X_2}} \right)^{-1/2}, \quad (4)$$

где энергетические зазоры Δ_0 , Δ_Γ и Δ_X показаны на рис. 2, m_{Γ_i} — массы электрона в Γ -долинах, $m_{X_{1,2}}$ и $M_{X_{1,2}}$ — поперечные (малые) и продольные (большие) массы в X -долинах, α — феноменологическая константа, предложенная в работе [1] для описания ГХ-связи на гетерогранице. Отличие α от нуля связано с возможностью электрона в той из X -долин п. 2, которая вытянута вдоль нормали к гетерогранице, перейти на этой границе без рассеяния в Γ -долину п. 1 с сохранением параллельной ГП (т. е. продольной) составляющей волнового вектора и полной энергии. Значение α , естественно, не может быть получено в рамках метода эффективной массы и требует оценки из более глу-

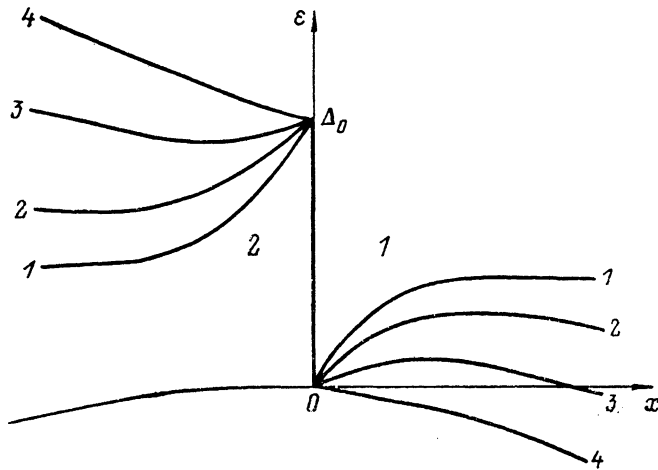


Рис. 1. Потенциальные диаграммы nn -ГП при умеренно больших прямых смещениях: $U_1=0$, $U_4 > U_3 > U_2$, $U_4=U_0$.

боких вычислений. Оценки α , получаемые различными авторами [1-3], колеблются в пределах от 0.05 до 0.2 эВ Å. Полагая здесь $\alpha=0.1$ эВ.Å, а прочие параметры, входящие в правую часть формулы (4), такими же, как в нашей предыдущей работе [2], оценим $D_2 \approx 2 \cdot 10^{-4}$.

Учитываемый формулой (4) поток электронов не является единственным. В частности, сравнимый вклад вносят переходы с поглощением и испусканием междолинных фононов на ГП [2]; в случае, если один из контактирующих материалов — неупорядоченный сплав (например, Ga_{1-x}Al_xAs), может быть существенным контактное рассеяние на сплаве [4]. Наличие этих механизмов увеличивает D_2 по сравнению с (4), однако D_2 на ГХ-ГП остается существенно меньше, чем в изодолинном случае.

Прозрачность D_2 может быть уменьшена и при наличии тонкого диэлектрического слоя между п. 1 и п. 2 (например, окисла). При этом D_2 определяется туннельной проницаемостью этого слоя.

Далее интересуемся лишь последствиями низких значений D_2 безотносительно к причине этой малости.

2. Ввиду предположенной малости прозрачности оценочно считаем

$$n_1 = n_{10} e^{\varphi_1/T_1}, \quad n_2 = n_{20} e^{-\varphi_2/T_2}, \quad (5)$$

где $n_{10, 20}$ — концентрации электронов в нейтральных объемах по разные стороны ГП (предполагается отсутствие статистического вырождения), φ_1, φ_2 — изгибы зон на заряженных слоях справа и слева от ГП. Если внешнее смещение (вернее, его доля, приходящаяся на приконтактные слои) достигает значения

$$U_0 = (\varphi_{10} + \varphi_{20})/e,$$
(6)

где $\varphi_{10}, \varphi_{20}$ — исходные изгибы зон в состоянии термодинамического равновесия, то происходит полная ликвидация изгибов зон на заряженных слоях, т. е. самих этих слоев (рис. 1, кривые 4). При этом $n_{1,2} \approx n_{10,20}$, так что

$$J = J_0 \approx eD_2 v_2 n_{20} \quad (7)$$

(термоэмиссионный ток из п. 1 в п. 2 при таких смещениях становится несущественным).

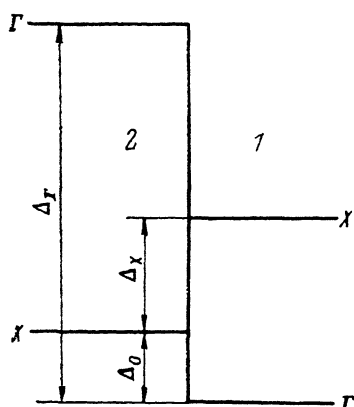


Рис. 2. Энергетические зазоры на ГХ-ГП.

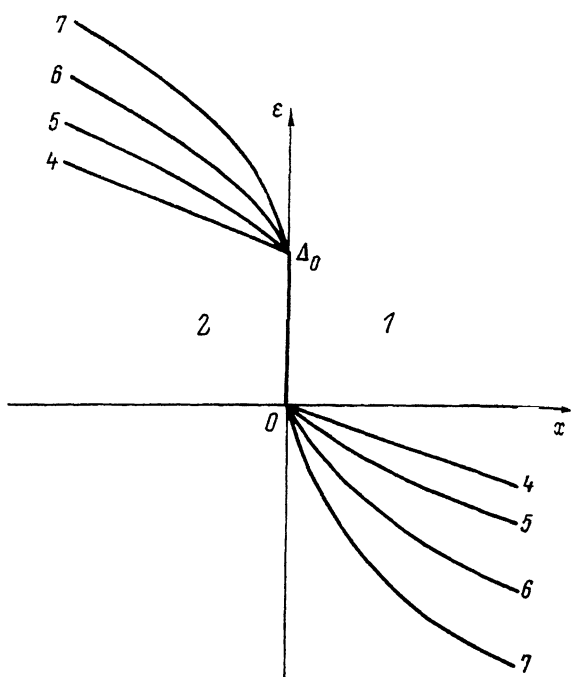


Рис. 3. Потенциальные диаграммы слабопрозрачного ГП при больших прямых смещениях: $U_0 = U_4 < U_5 < \dots < U_8 < \dots$

Протекание тока $J = J_0$, естественно, вызывает падение напряжения в объемах, определяемое полями $E_{10,20}$, которые находятся из формулы

$$J_0 = en_2 v_2 (E_{20}) = en_{10} v_1 (E_{10}), \quad (8)$$

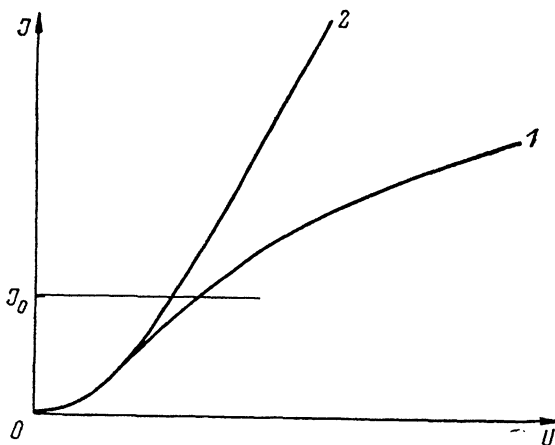


Рис. 4. Качественный характер ВАХ слабопрозрачного ГП.

где $v_{1,2}(E)$ — дрейфовые скорости электронов по разные стороны ГП. Введем характерные дрейфовые скорости $v_{s1,2}$ (это либо скорости насыщения, либо пиковые скорости) такие, что при $v_{1,2}(E) \ll v_{s1,2}$ можно говорить о линейном (омическом) режиме электропроводности. Интересуемся случаем, когда

$$D_2 v_2 \ll v_{s2}, \quad v_{s1} \frac{n_{10}}{n_{20}}; \quad (9)$$

этот случай реалистичен при достаточно малой величине D_2 и при условии, что $n_{20} \leq n_{10}$. Условия (9) означают, что при $J \simeq J_0$ объемы п. 1 и п. 2 находятся в омическом режиме, так что дальнейший рост тока J ограничивается не объемными свойствами, а только контактом.

Для того чтобы происходил рост тока $J > J_0$ согласно формуле (1), необходимо возрастание $n_2 > n_{20}$, т. е. новое возникновение (теперь уже в п. 2) обогащенного слоя и компенсирующего его обедненного слоя (теперь уже в п. 1) (рис. 3). Попытаемся оценить ВАХ ГП при $J > J_0$, т. е. в ситуации с инвертированными заряженными слоями. Будем исходить из омического режима в п. 2, основанного на первом из сильных неравенств (9) и позволяющего использовать предположение о квазиравновесном распределении электронов в обогащенном слое.

Тогда распределение потенциала там находится из уравнения Пуассона

$$\frac{d^2\varphi}{dx^2} = -\frac{e^2}{\epsilon_2} (n_2 e^{-\varphi/T_2} - n_{20}). \quad (10)$$

Первый интеграл (10) позволяет связать поле на ГП с концентрацией электронов на ГП n_2 :

$$E_2^2(0) = 2 \frac{T_2}{\epsilon_2} \left[n_2 - n_{20} \left(1 + \ln \frac{n_2}{n_{20}} \right) \right]; \quad (11)$$

избыточное падение напряжения на обогащенном слое равно

$$\frac{\Psi_2}{e} = \frac{T_2}{e} \ln \frac{n_2}{n_{20}}, \quad n_2 > n_{20}. \quad (12)$$

Истощенный слой в п. 1 можно рассматривать как слой Шоттки с протяженностью

$$w = \frac{\epsilon_1 E_1(0)}{en_{10}} = \frac{\epsilon_2 E_2(0)}{en_{10}} \quad (13)$$

и падением напряжения на нем

$$\frac{\Psi_1}{e} = \frac{\epsilon_2^2 E_2^2(0)}{2\epsilon_1 en_{10}}. \quad (14)$$

Суммируя Ψ_1 , Ψ_2 и используя (11), (1) (где удерживается только первое слагаемое справа), получим выражение для ВАХ

$$\delta U = \frac{(\Psi_1 + \Psi_2)}{e} = \frac{T_2}{e} \left[\frac{\epsilon_2 n_{20}}{\epsilon_1 n_{10}} \left(\frac{J}{J_0} - 1 \right) + \left(1 - \frac{\epsilon_2 n_{20}}{\epsilon_1 n_{10}} \right) \ln \frac{J}{J_0} \right]. \quad (15)$$

Полное внешнее смещение на двойном заряженном слое равно сумме

$$U = U_0 + \delta U. \quad (16)$$

При $J \gg J_0$ формула (15) дает омический закон роста напряжения с током, причем роль сопротивления площадки ГП единичной площади играет величина

$$r_k = \frac{\epsilon_2 n_{20}}{\epsilon_1 n_{10}} \frac{T_2}{e J_0}. \quad (17)$$

Квазиомичность имеет место при несущественной зависимости T_2 от J . Чем меньше прозрачность D_2 , тем меньше J_0 и тем больше r_k . Положив $v_2 = 1.7 \times 10^7$ см/с (что соответствует средней тепловой скорости электрона с массой подвижности $0.4m_0$ при температуре $T_2 = 300$ К), $n_{20} = 10^{16}$ см $^{-3}$ и $D_2 = 10^{-3}$, имеем $J_0 \approx 30$ А/см 2 , так что при $\epsilon_2 n_{20} / \epsilon_1 n_{10} \approx 1$ получаем $r_k \approx 1/1200$ Ом·см 2 , т. е. площадка с диаметром 100 мкм имеет сопротивление ~ 10 Ом. Такое сопротивление вполне измеримо.

Кроме разогревной зависимости T_2 , действие формулы (15) ограничивается вкладом заряда свободных носителей в п. 1; он имеет порядок $n = J/e\nu_{s1}$, т. е. необходимо, чтобы

$$J_0 = eD_2v_2n_{20} < J \ll e\nu_{s1}n_{10}. \quad (18)$$

Наличие этого интервала токов обусловлено выполнением второго из сильных неравенств (9).

Необходимо также отсутствие больших падений напряжения на нейтральных объемах, включенных последовательно с сопротивлением контакта r_k . В ГХ-ГП подвижность электронов в п. 2 (X-материал) значительно ниже, чем в п. 1, так что это требование сводится к условию

$$d_2 \ll \epsilon_2 p_2 n_{20} r_k. \quad (19)$$

Полагая в предыдущих оценках $\mu_2 = 200 \text{ см}^2/\text{В}\cdot\text{с}$, имеем $d_2 \ll 3 \cdot 10^{-4} \text{ см}$, т. е. слой X-материала должен быть весьма тонким. Отметим, что из (19) и (17) для d_2 получается универсальная буквенная оценка

$$d_2 \ll \frac{1}{3} \frac{\epsilon_2 n_{20}}{\epsilon_1 n_1} \frac{l_2}{D_2}, \quad (20)$$

где l_2 — длина свободного пробега электрона в п. 2.

Некоторое увеличение d_2 можно получить за счет увеличения отношения n_{20}/n_{10} ; при этом, однако, не следует забывать о (18).

Формула (15) не вполне корректно описывает область токов $J \rightarrow J_0$, поскольку слой Шоттки плохо аппроксимирует слабо обедненную область в п. 2, имеющую место при таких токах. Тем не менее формула (15) позволяет ответить на вопрос о законе перехода ВАХ с экспоненциального участка при $J \ll J_0$ на омический при $J \gg J_0$. Если $\epsilon_2 n_{20}/\epsilon_1 n_{10} > 1$, то этот переход имеет сублинейный характер (рис. 4, кривая 1), а при обратном неравенстве — суперлинейный (рис. 4, кривая 2).

Измерение температурной зависимости сопротивления r_k для ГП типа GaAs/AlAs позволило бы заметно прояснить вопрос о механизме ГХ-переноса.

Список литературы

- [1] Liu H. C. // Appl. Phys. Lett. 1987. V. 51. N 13. P. 1019—1021.
- [2] Грибников З. С., Райчев О. Э. // ФТП. 1989. Т. 23. В. 12. С. 2171—2178.
- [3] Xue Fang Shi // Semicond. Sci. Techn. 1989. V. 4. N 3. P. 150—154.
- [4] Price P. J. // Surf. Sci. 1988. V. 196. P. 394—398.

Институт полупроводников АН УССР
Киев

Получена 12.02.1990
Принята к печати 2.03.1990